

中 3749

圆弧齿伞齿轮 加工手册



吉林人民出版社

TC 61
—
19
—
02-773

圆弧齿伞齿轮加工手册

长春第一汽车制造厂工艺处机械加工试验室编

吉林人民出版社

圆弧齿伞齿轮加工手册

长春第一汽车制造厂工艺处机械加工试验室编

*

吉林人民出版社出版 吉林省新华书店发行
长春新华印刷厂印刷

*

787×1092毫米16开本 56印张 插页4个 1,180,000字
1980年10月第1版 1980年10月第1次印刷
印数：1—2,500册
书号：15091·167 定价：(精装)6.60元

内 容 简 介

本手册包括伞齿轮的一般概念、切齿原理、螺旋伞齿轮、零度伞齿轮、双曲线齿轮的有关参数计算及滚切法、半滚切法、切齿计算和机床调整资料，并介绍了与切齿有关的机床、刀具设计、刀具刃磨、齿面接触区控制等方面内容。手册中较系统地介绍了螺旋伞齿轮、零度伞齿轮、双曲线齿轮的各种加工方法的有关计算及在国产切齿机床上的应用。手册附有刀倾刀转表和挂轮表。

本手册供从事伞齿轮制造的工人及技术人员参考。

再 版 前 言

随着我国社会主义革命和社会主义建设事业的蓬勃发展，伞齿轮日益广泛地应用于机器制造的各个行业，对伞齿轮的数量和质量提出了更高的要求。为了适应伞齿轮加工生产的需要，我们根据现在搜集到的资料，在第一版的基础上进行了重新编写。

本手册的主要对象是齿轮制造工作者，因此主要内容是圆弧伞齿轮的基本参数计算和切齿加工，对齿轮强度等方面的内容未编入手册。

由于我们的政治、技术水平不高，实践经验不多，手册中一定存在不少缺点和错误，恳切希望广大读者提出批评意见，以便今后改正。

本手册在处、室领导的关怀和支持下编写而成。在重新编写时，承蒙陕西齿轮厂副总工程师张学孟同志热心指导和审阅，并编写了第二章；其余各章由牟永言同志编写。参加校对的有胡文魁、孟凡君等同志。

长春第一汽车制造厂工艺处机械加工试验室

目 录

第一 章 伞齿轮种类.....	(1)
第二 章 切齿原理和方法.....	(4)
第三 章 切齿机床种类、规格、用途及机床调整的主要项目.....	(20)
第四 章 螺旋伞齿轮基本参数的计算.....	(30)
第五 章 滚切法加工螺旋伞齿轮切齿计算.....	(43)
第六 章 半滚切法加工螺旋伞齿轮切齿计算.....	(167)
第七 章 零度伞齿轮基本参数及切齿机床调整计算.....	(277)
第八 章 双曲线齿轮的基本参数计算概述.....	(291)
第九 章 滚切法加工双曲线齿轮切齿计算.....	(312)
第十 章 半滚切法加工双曲线齿轮切齿计算.....	(496)
第十一章 等高齿螺旋伞齿轮基本参数及机床调整计算.....	(623)
第十二章 伞齿轮检验和接触区修正.....	(683)
第十三章 伞齿轮毛胚的公差.....	(662)
第十四章 夹具.....	(667)
第十五章 切齿刀具.....	(676)
附表:	
一、四轮交换齿轮表	(723)
二、传动比及倒数表	(824)
三、常数为22.5的分度交换齿轮表 (滚切法)	(867)
四、常数为22.5的分度交换齿轮表 (成形法)	(868)
五、常数为30的分度交换齿轮表.....	(869)
六、检查分度表	(871)
七、刀倾刀转表	(872)

第一章 伞齿轮种类

按照伞齿轮的牙齿形状来说，可分为以下四类（图1—1）：

1. 直齿伞齿轮

这是最简单的伞齿轮，它的传动速度较低，通常圆周速度不应超过300米/分或1000转/分，只适用于负荷小而稳定，噪音要求不高的传动中。但由于轴向推力及径向推力不大，因此可用滑动轴承。这样，结构比较紧凑，并且比较经济。

2. 螺旋伞齿轮

它的牙齿是曲线形的（如果是按格利森制度，则是圆弧形的），所以同时啮合的齿数要较直齿为多，这样便可传递较大的负荷，约为直齿的130%，运转平稳，同时噪音也可减小，且允许在较高的速度下工作。但因具有螺旋角（一般常用 $30^\circ \sim 50^\circ$ ），所以轴向推力较大，需用止推轴承。

3. 零度伞齿轮

当螺旋伞齿轮的螺旋角等于“零”时，就是零度伞齿轮。但是牙齿仍然保持圆弧形，所以它和直齿伞齿轮比较，可以有较多的接触齿数，也就可以传递较大的负荷，并可较平稳的工作。它和直齿伞齿轮一样，轴向推力很小，因此往往以零度伞齿轮代替直齿伞齿轮，而不增加其安装地位。

在航空、拖拉机及机床制造业中，常以零度伞齿轮代替直齿伞齿轮。

4. 双曲线齿轮

按其外形来看，它和螺旋伞齿轮没有什么区别，但是在安装位置上，大、小轮*的轴线有一个相对偏置量。因此大、小轮的螺旋角不等，而且设计上总是使小轮的螺旋角较大。因此小轮的端面模数较大轮的为大，齿轮的尺寸也就增大，也就是说小轮的强度增加。同时，接触齿数也增多，所以传递负荷能力也大，传递时很平稳，而且噪音也减小。全齿面上存在滑动，因而齿轮在运转工作时齿面磨损较均匀。这个特点对研磨齿面亦有利。

当双曲线齿轮和螺旋伞齿轮用于传递高于300米/分的圆周速度时，才能充分的显示出其优越性。当圆周速度高于1,500米/分时，应该磨齿。

由于双曲线齿轮的轴线不相交，有一个偏置量，所以在小汽车后桥减速器上广泛的采用这种齿轮，以便降低车身，使重心下降。在某些特殊条件下，如越野车可使车身提

* 成对伞齿轮齿数较多的称为大轮，齿数较少的称为小轮，以下均同此。

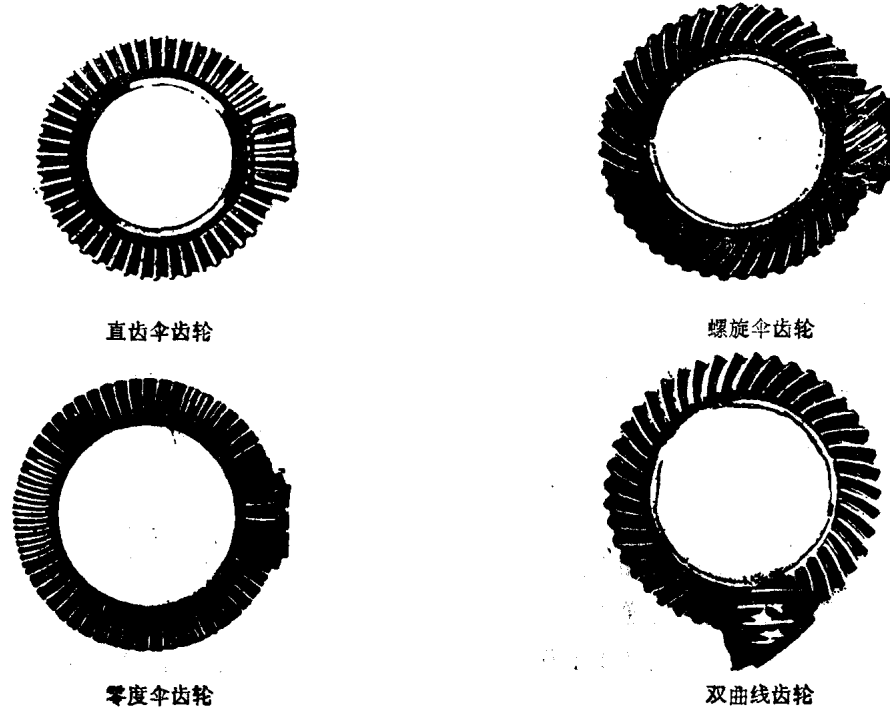


图1—1 伞齿轮种类

高以增进汽车的通过性。双曲线齿轮也用于分度机构，以代替蜗轮传动。

按照齿长方向、齿高收缩程度，可分为以下三类：

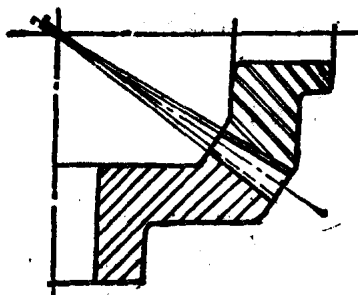


图1—2 渐缩齿螺旋伞齿轮

1. 渐缩齿螺旋伞齿轮（图1—2）

牙齿沿齿长方向从大头向小头齿高逐渐减小，为了保证沿齿长方向有均等的齿顶间隙，通常做成齿顶平行于配对齿轮的齿根，即面锥的顶点不和节锥顶点相交。

这是目前圆弧伞齿轮中最常用的一种渐缩齿。

2. 双重收缩齿螺旋伞齿轮（图1—3）

此种收缩齿，其根锥顶点、面锥顶点和节锥顶点三者不重合，其根锥顶点位于节锥顶点的外侧。

3. 等高齿螺旋伞齿轮（图1—4）

牙齿的大头和小头齿高一样，即面锥、根锥、节锥角皆相等。其优点：

1) 刀齿的压力角等于工件的压力角，即刀盘的刀号等于零，因此刀具数量可以大大减少。

2) 机床调整简单，计算方便。

3) 刀具计算简单。

4) 加工出来的工件精度较高。

等高齿的最大缺点是牙齿小头容易根切和变尖，设计不当时会使牙齿强度降低。

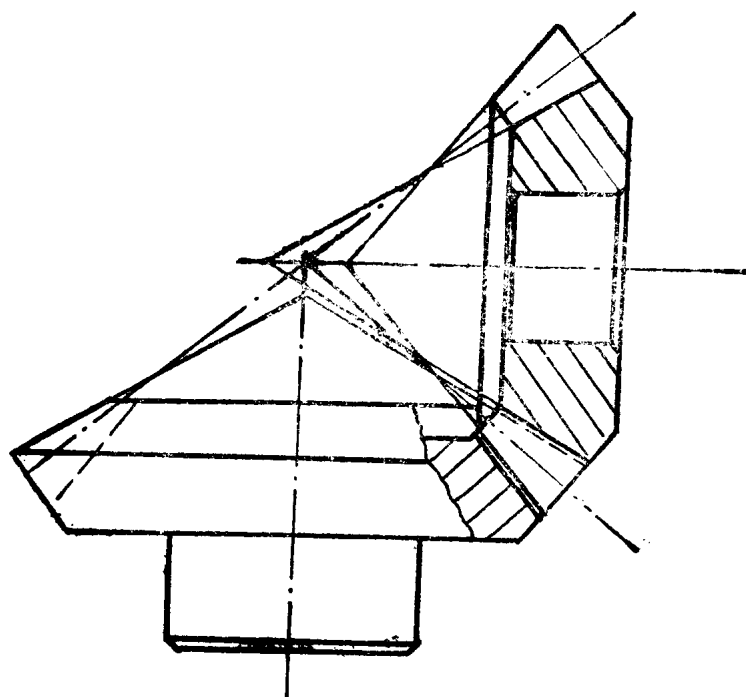


图1-3 双重收缩齿螺旋伞齿轮

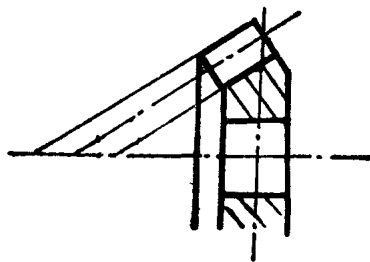


图1-4 等高齿螺旋伞齿轮

一般大、小轮皆采用滚切法加工，在大量生产中为提高生产率多采用仿形齿（半滚切）伞齿轮，其特点：

螺旋伞齿轮，零度伞齿轮和双曲线齿轮，当它们的传动比较大时，大轮的齿廓形状接近于直线，因此可以用直线形齿廓来代替。这样一来，小轮的齿廓形状则应加以相应的修正。仿形齿伞齿轮对的大轮，是用仿形法切出的（即切齿时机床的摇台不摆动），所切出的齿廓形状和刀刃形状相同。

这种齿轮主要在大量和大批生产中采用，一般都用特种机床（如格利森N₂₂, N₁₁等）切削大轮。

大轮的牙齿精切是用弧拉刀盘，使精切工序的生产率大大提高，工件质量也好，但机床调整计算比较复杂。弧拉刀盘制造较困难，只有当传动比大于2.5或大轮节锥角大于70°时使用。

第二章 切齿原理和方法

伞齿轮的啮合概念，特别是有关冠轮和渐开线齿轮的概念，是切齿原理和机床调整计算的理论基础，螺旋伞齿轮可以看成是把直齿伞齿轮的牙齿切成无限小的齿面宽，再把它们做相对位移而成弧形齿。因此，研究螺旋伞齿轮应从了解直齿伞齿轮入手。应该指出，伞齿轮的啮合原理和圆柱齿轮有很多相似之处。

共 轼 齿 面

一个齿面被另一个齿面在一定的相对运动条件下展成或包络而成，这两个齿面就互相共轭。因此，如果一个齿轮的牙齿是刚性的坚硬材料，和另一个塑性材料的齿坯相啮合，在一个固定的速比条件下旋转，后者所形成的齿面将与前者共轭。

当两个共轭齿面相接触的瞬间，所有接触点将形成一条接触线。在任一接触点上，两个齿面都有一条公法线，并且它们的相对法向速度等于零。这是齿轮牙齿啮合的基本条件。据此，我们可以计算出接触点。相对切向速度为齿面滑移速度。当齿轮继续运转时，接触线在固定空间的轨迹将形成一个面，叫做啮合面或作用面。

齿 形 啮 合 的 基 本 定 律

两个齿轮以固定的角速比传动，则它们的齿面不论在何位置啮合，通过其啮合点的公法线都必须通过一个定点——节点。

节 锥

对于轴线相交的伞齿轮副，它们的啮合运转，可由两个相切的锥体来表示。当它们运转时，沿此锥面只有纯滚动而无相对滑动。这两个锥体叫节锥，它们相切的公切线叫节线。从相对运动来讲，此节线就是两个齿轮的相对运动的瞬时轴线。一对伞齿轮的轴线和相对运动的瞬时轴线，都位于轴向平面之内，并且交于节锥顶点。过节线与节锥相切的平面，叫节平面。当两个齿轮啮合运转时，节锥将在节平面上纯滚动。伞齿轮的节平面是一个以节锥距为半径的圆。如图2—1所示。

伞齿轮的节锥面具有下列重要特性：

1. 一对伞齿轮在运转中，在其节锥面上只有纯滚动而无相对滑动；
2. 节线就是相对运动的瞬时轴线；

3. 两个齿面在任一点相啮合，其公法线与节线相交；

4. 节线就是两个啮合面的交线。

应当注意，对于交错轴的齿轮副，没有节面。因为他们不同时具备上述四条特性。

对于蜗轮副和双曲线齿轮，人们常常给出节圆和节锥，这只是为了讨论问题方便，而不是真正的节面。

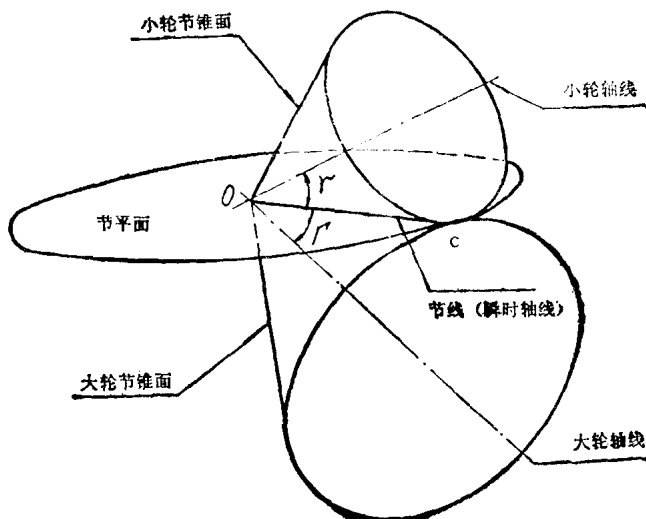


图2—1 伞齿轮节面

基 锥 和 球 面 渐 开 线

由于圆柱齿轮的齿形多为渐开线，人们就考虑采用渐开线齿形的伞齿轮。虽然因为这种齿形很难加工，一直没有在实际中使用，但它仍是研究啮合原理的基础。以后介绍的，现在实用的8字啮合齿形伞齿轮，就是在渐开线齿形的理论基础上发展起来的。

和圆柱齿轮相似，直齿伞齿轮渐开线齿形的展成，是由一个切于圆锥的平面Ⅰ，当它在锥面上做无滑动地滚动时，在原始位置Ⅰ平面和锥面的接触线为直线 OG_0 ，叫母线，当Ⅰ平面纯滚动一个角度 ψ 后，母线 OG_0 所经过的空间轨迹 G_0G' 叫圆锥渐开面。它是直齿伞齿轮的理论齿形面。

我们称这个锥面体为基锥，平面Ⅰ叫产形面，如图2—2所示。显然，当基锥在一个平面Ⅰ上纯滚动时，将形成一个以基锥顶点 O 为中心，以基锥距 $OG_0 = A_b$ 为半径的圆。曲线 G_0G' 是在以 O 点为球心，以 A_b 为半径的球面上，所以叫球面渐开线。它是理论的伞齿轮齿形。它的表达式为：

$$x = A_b (\sin \psi \cos \varphi_0 + \cos \psi \cos \varphi_0 \sin \delta)$$

$$y = A_b (\cos \psi \sin \varphi_0 + \sin \delta - \sin \psi \cos \varphi_0)$$

$$Z = A_b \cdot c \cdot \sin \psi \cos \delta$$

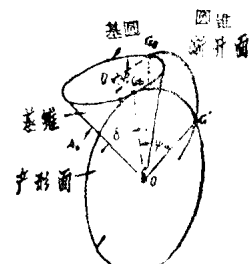


图 2—2

压力角和基锥角

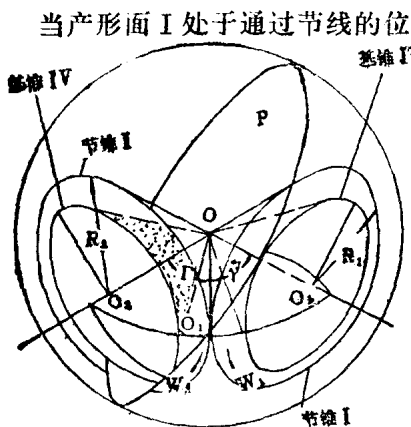


图2—3 直齿伞齿轮啮合原理
的节圆也在球面上纯滚动。

当产形面I处于通过节线的位置时，成为伞齿轮副的啮合面，显然它也是两个共轭齿面的公法面。换句话说，啮合面同时切于一对伞齿轮的两个基锥而且包含节线。啮合面和节平面的夹角为压力角。压力角 ϕ 、节锥角 γ 和基锥角 δ 之间的关系式为：

$$\sin \delta = \sin \gamma \cos \phi$$

图2—3表示一对伞齿轮的啮合情况。两个节锥的节线为 OC_0 ， P 平面为啮合面，它是通过球心的大圆。基锥底圆称基圆，节锥底圆称节圆，它们都是同一球面上的小圆。当两个节锥纯滚动时，它们

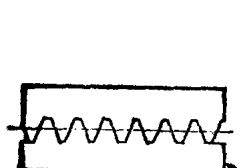
产 形 齿 轮

当伞齿轮的节锥角等于 90° 时，叫做冠轮（平面齿轮）。这时，节锥面变成一个平面。当伞齿轮和冠轮啮合运转时，伞齿轮的节锥在冠轮的节平面上绕节锥顶纯滚动。这与圆柱齿轮和齿条的啮合情况相似。

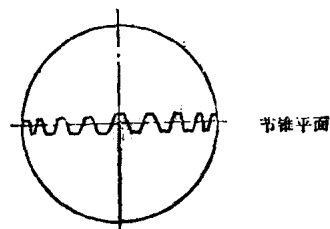
当两个伞齿轮都与一个冠轮共轭时，此二齿轮必然彼此共轭。人们把齿条和冠轮通称为“基本齿轮”。“基本齿轮”是大部分齿轮展切成形的基础。在某些情况下，“基本齿轮”可能不是齿条或冠轮，而是与被切齿轮相啮合的齿轮。但他们所包含的原理是相同的。

一个“基本齿轮”如它的牙齿插到另一个“基本齿轮”的齿间之内，可以完全无间隙吻合。后者齿间形状和前者牙齿形状完全相同，则称这两个“基本齿轮”是互补的。因此，有互补的冠轮和互补的齿条，如图2—4所示。

两个分别同互补的“基本齿轮”相共轭的齿轮，它们将彼此共轭。所以，如果图



a 互补齿条



b 互补冠轮

图2—4 互补齿条和互补冠轮

2—5的齿轮a与冠轮A共轭，齿轮b与冠轮B共轭，则齿轮a和齿轮b将其轭。这就是伞齿轮滚切（或称展切）的基本原理。我们称互补的“基本齿轮”为渐开线齿轮。渐开线齿轮的牙齿，在切齿机床中，由运动中的刀具形成。

渐开线产形齿轮

渐开线齿形冠轮是研究切齿原理的基础。在前面介绍球面渐开线时，已知这种齿形为球面啮合。当了解它的啮合特性时，应在球面上进行。对于冠轮，从前述公式： $\sin \delta = \sin \gamma \cos \phi$ 中，因节锥角

$\gamma = 90^\circ$ ，可以求出基锥角 $\delta = 90^\circ - \phi$ 。所以，对于压力角为 20° 标准值的冠轮，其基锥角 δ 将等于 70° 。两个互补的冠轮 A 和 B 的基圆为球面上两个小圆 IJ 和 $I'J'$ ，如图 2—6 所示。大圆 II' 为切于两个基圆的一个平面。

因为此平面通过节线，而且它是展开齿形的产形面，所以，它就是冠轮啮合的啮合面。冠轮的节锥平面为大圆 PP' ，它和两个基圆平面 IJ 和 $I'J'$ 平行。前已说明，啮合面和节平面的夹角为压力角。对于冠轮，切于两个节锥并包含瞬时轴线的节平面（如图 2—1 所示）和节锥平面 PP' 重合，因此， IOI' 圆所在的平面和 POP' 圆所在的平面的夹角 $I'OP'$ 角，就是冠轮的压力角。在图 2—6 内， II' 为球面投影到平面上的直线，它相当于渐开线圆柱齿轮的啮合线。渐开线冠轮的啮合线为球面上大圆线段。 PP'

图2—6 渐开线冠轮

球面渐开线是由大圆上的一个点开始，当大圆在两个基圆上纯滚动时在球面上所形成的轨迹。在图 2—6 内，当大圆 IJ' 在基圆 IJ 和 $I'J'$ 上纯滚动时，在大圆上一点 O，将描出球面渐开线 COC' 来，对于冠轮，它将是一条球面上的 S 形曲线。这种齿形，实际上很难加工出来，因为这需要一个尖点的刀具来切削，这种刀具实际上很难保持。但根据计算，这种齿形和直线相差很小，因此就考虑用直边冠轮以代替球面渐开线冠轮来滚切齿形。因为直边刀具容易制造。但这种冠轮的齿形和它滚切出来的齿形，将不是球面渐开线，它们的啮合也不是渐开线啮合，而是 8 字形啮合。通常叫它为 8 字啮合伞齿轮。

由直边刀具滚切出来的齿形是一种包络曲面，叫 8 字形齿 (octoid teeth)。这是因为这种冠轮的啮合接触轨迹，在球面上呈 8 字形。下面就介绍这种轨迹。

直边冠轮的接触轨迹

为了方便起见，首先介绍滚切直齿伞齿轮的直边冠轮的接触轨迹。图 2—7 表示直边冠轮和直齿伞齿轮的啮合情况。 P 平面为冠轮的节锥平面，即图 2—6 中的 PP' 圈。

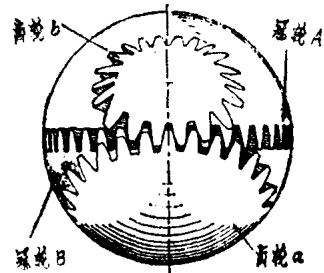


图2—5 共轭齿轮形成原理

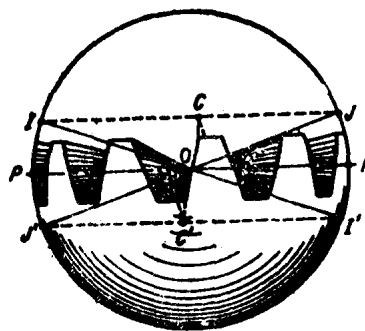


图2—6 渐开线冠轮

平面为直边刀具运动形成的平面（即冠轮直边齿面），相当于图2—6中的 COC' 所在的面。它在球面的形状为大圆，如图2—8，它与被包络的齿面相切。

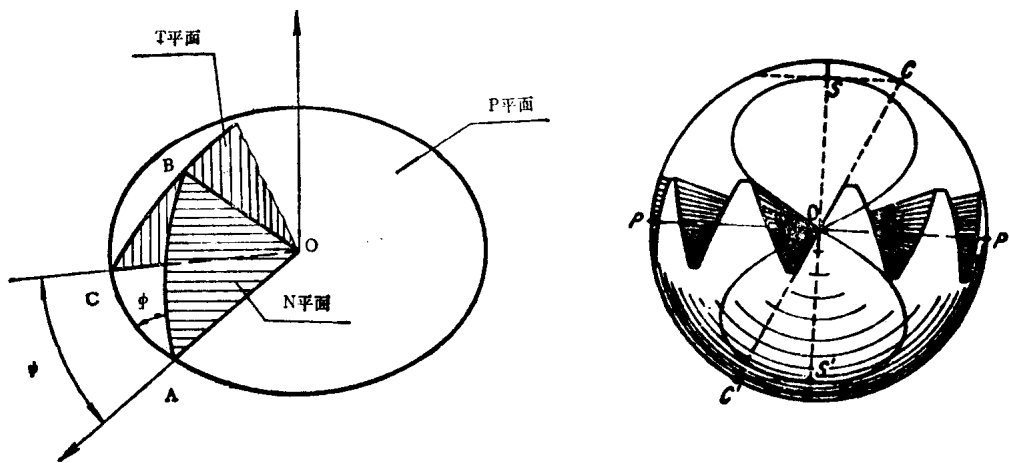


图2—7 直边冠轮和直齿伞齿轮啮合

图2—8 直边冠轮

N 平面为过节线 OA 的公法面，它相当于图2—6中的 IOI' 圆。当节锥 A 在节锥平面 P 上纯滚动时，刀具往复运动（过球心 O ）包络出齿面来，根据齿面共轭原理，两个齿面接触时，只有一个过接触点并包含节线的公法面，它和节平面的夹角为压力角 ϕ 。当节锥转过 ψ 角后，刀刃面 T 和齿面的接触线是在平面 N 和 T 的交线 OB 上。因此求出 T 平面和 N 平面的方程式，并联立求解，就是直边冠轮的接触轨迹方程。如下式：

$$x = \frac{\sin \psi \cos \psi \cot^2 \phi}{1 + \cot^2 \phi \cos^2 \psi} A_b$$

$$y = \frac{\sin \psi \cot \phi}{1 + \cot^2 \phi \cos \psi} A_b$$

A_b = 球半径

ϕ = 压力角

ψ = 节锥 A 在冠轮节平面上转过的角度

x = 接触轨迹投影横座标

y = 接触轨迹投影纵座标

当将 $\psi = 0^\circ$ 到 90° 的值代入上式， ϕ 和 A_b 为已知值，即可求出第一象限内接触轨迹的球面投影曲线。其他三个象限完全相同。

例如：当 $A_b = 76.2$ 毫米， $\phi = 14.5^\circ$ 时，接触轨迹在第一象限的投影数值为下表，它的图形如图2—8，为8字形。在节点垂直于齿形线并切于两个极圆 S 和 S' 。

ψ	0°	15°	30°	45°	60°	75°	90°
x	0.00	18.21	34.9	48.26	55.88	49.79	0.00
y	0.00	4.88	10.41	17.78	28.96	49.78	73.66

直边平顶冠轮

当伞齿轮的面锥角等于 90° 时(节锥角不等于 90°),即其面锥变成一个平面时称为平顶冠轮(平顶齿轮)。直边齿形的平顶冠轮,叫直边平顶冠轮。它是目前加工伞齿轮最常用的方法。

直边平顶冠轮的接触轨迹:对于切削收缩齿,刀子运动的方向必须沿着根锥方向,所以直边冠轮和工件轴线的夹角 Σ 就不能等于 $90^\circ + \gamma$, γ =工件节锥角,而必须 $\Sigma = 90^\circ - \angle + \gamma$, \angle 为工件齿根角。为了保持工件的节锥不变,就必须采用平顶冠轮来滚切齿形。如图2—9所示。

直边平顶冠轮和工件啮合情况,如图2—10所示。 F 平面为平顶冠轮的面锥平面。 OP 为节线,即工件节锥和冠轮节锥相切的线。 T 平面为刀刃平面, N 为过节线的公法面。按前述包络原理,可以求出直边平顶冠轮的接触轨迹方程式来,如下式:

$$y = \frac{\cos\psi \cot\phi (\cos\angle \sin\psi \cot\phi - \sin\angle)}{(\cos\angle + \sin\psi \cot\phi \sin\angle)^2 + \cos^2\psi \cot^2\phi} A_0$$

$$x = y \frac{\tan\phi}{\cos\psi} (\cos\angle + \sin\psi \cot\phi \sin\angle)$$

例如:伞齿轮齿数 $N=20$,模数 $m=10$,节锥角 $\gamma=45^\circ$,压力角 $\phi=20^\circ$,可以求出外锥距 $A_0 = \frac{mN}{2\sin\gamma} = 141,443$ 毫米, $\tan\angle = \frac{1.2m}{A_0}$ 代入上式,并代入 $90^\circ \geq \psi \geq -90^\circ$ 的值,可以求出下表数值,并描出图2—11的8字形接触轨迹投影图形来。

ψ	90°	80°	70°	60°	50°	40°	30°	20°	10°	0°
x	305.3	261.7	181.2	117.1	74.3	47.26	22.29	16.56	6.82	-1.39
y	0	101.9	140.1	134.3	111.7	86.82	62.62	39.74	17.79	-3.85
ψ	-10°	-20°	-30°	-40°	-50°	-60°	-70°	-80°	-90°	
x	-9.19	-17.62	-28.11	-42.92	-66.65	-109.6	-196.5	-369.6	-522.3	
y	-26.01	-49.65	-75.93	-106.6	-143.8	-189.3	-237.2	-229.6	0	

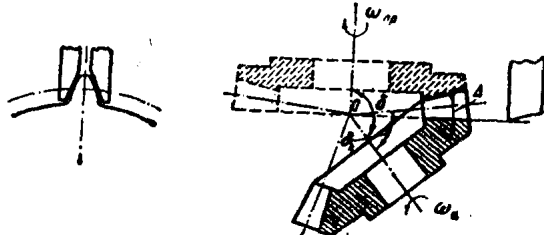


图2—9 直边平顶冠轮

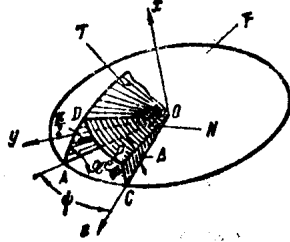


图2—10 直边平顶冠轮和工件啮合

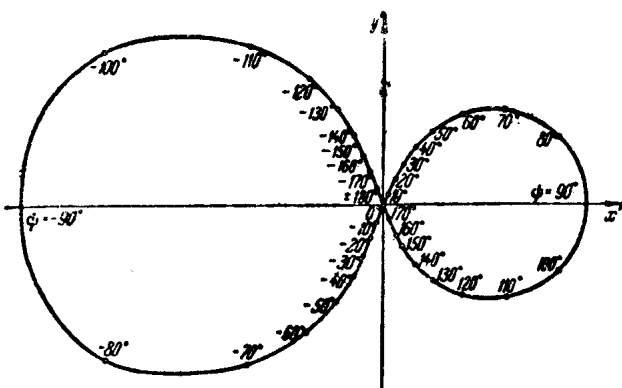


图2—11 “8”字形接触轨迹投影图

滚切螺旋伞齿轮的直边平顶冠轮

螺旋伞齿轮和零度伞齿轮也是采用直边平顶冠轮的原理滚切出来的。冠轮的牙齿为锥面体。用圆盘形铣刀，刀盘切刃旋转时形成锥面。和直齿伞齿轮的切齿情况相同，刀轴必须垂直于被切齿轮的根锥，而不是垂直于节锥，即冠轮的轴线和工件的轴线之夹角为 $\Sigma = 90^\circ + (\gamma - \Delta)$ ， γ = 工件节锥角， Δ = 工件齿根角。因此，所采用的冠轮，也必须是平顶冠轮。由于切削大轮和切削小轮的刀轴，必须分别垂直于它们的根锥线 AB 和 $A'B'$ ，所以在齿轮的轴向截面内，这两把刀子并不重合，如图 2—12 所示。因此，所切出的大轮和小轮，在啮合时，齿面就不是共轭，接触印痕是对角线形。另外切出的牙齿也是倾斜的，不对称的。为了解决上述问题，除进行压力角的修正(即所谓刀号)外，还必须对机床调整计算进行大量修正和试切。

格利森制（收缩齿制）螺旋伞齿轮的切齿调整计算之所以非常复杂，主要是这个原因。等高齿弧齿伞齿轮的切齿，由于切削大轮和切削小轮的刀盘完全重合，因此，既无刀号问题，也无对角接触问题。所以，切齿计算既简单又精确，可以不需试切。

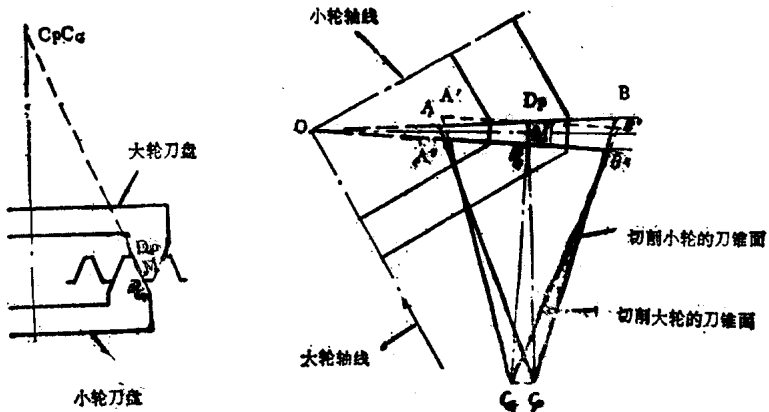


图2—12 直边平顶冠轮滚切螺旋伞齿轮刀盘轴线位置

下面介绍的切削螺旋伞齿轮的直边平顶冠轮的接触轨迹也是8字形。图2—13中，*a*图为冠轮面锥平面的投影视图，*OM*为冠轮中心，*O_u*为刀盘中心，*M*为牙齿中点，*b*为刀位，*O_uM=r_u*为刀盘半径。

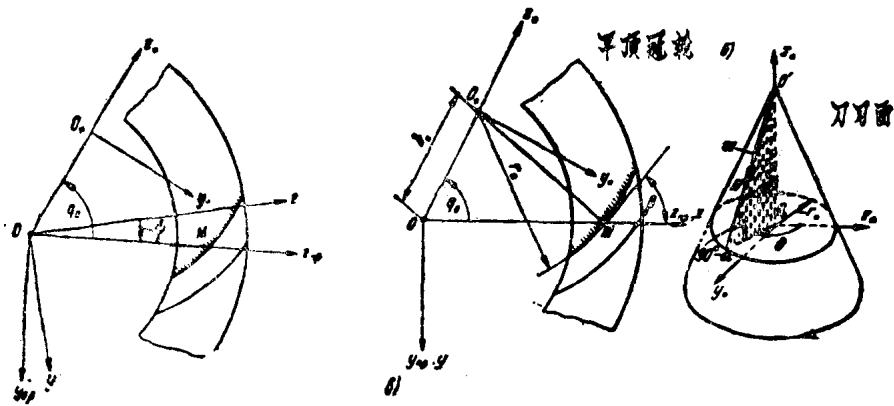


图 2—13

设冠轮齿面上一点*N*，矢量 $U = \vec{N}$ ，如*b*图。静坐标系 $O-x, y, z$ 和冠轮联系在一起的动坐标系 O_u-x_u, y_u, z_u 和 $O-x_{np}, y_{np}, z_{np}$ 。坐标系 $O-x_{np}, y_{np}, z_{np}$ 的位置和静坐标系 $O-x, y, z$ 相差 ψ 角。当 $\psi = 0$ 时为原始位置。在动坐标系 O_u-x_u, y_u, z_u 中，冠轮齿面方程式为（图2—13）：

$$\begin{cases} x_u = r_c \cot \phi - u \cos \phi \\ y_u = u \sin \phi \sin \theta \\ z_u = u \sin \phi \cos \theta \end{cases}$$

将上式转换到静坐标系中去，并按前述的方法求出冠轮齿面和工件齿面接触时的法线方程式，联立求解，即可求出螺旋伞齿轮的冠轮接触轨迹方程式：

$$\begin{cases} x = r_c \cot \phi - u \cos \phi \\ y = u \sin \phi \sin[\theta - (q_0 - \psi)] - S \sin(q_0 - \psi) \\ z = u \sin \phi \cos[\theta - (q_0 - \psi)] + S \cos(q_0 - \psi) \\ S \sin(q_0 - \psi) \sin \phi + (\gamma_c \cot \phi \cos \phi - u) \sin[\theta - (q_0 - \psi)] = 0 \end{cases}$$

在垂直于坐标轴 OZ 上，取 $Z = A_0$ 做截面，即球面的投影，将 ψ 角从 0° 到 $\pm 180^\circ$ 取值，即可求出冠轮接触轨迹在 xy 平面上的投影图形。

例如：已知 $Z = A_0 = 100$ 毫米， $\phi = 20^\circ$ ，螺旋角 $\beta = 30^\circ$ ， $r_c = 75$ 毫米， $q_0 = 46^\circ 06'$ ， $b_u = 90.14$ 毫米，取 $\psi = 0^\circ$ 到 $\pm 180^\circ$ ，可以求出下表数值。轨迹投影如图2—14，亦为8字形。应该指出，啮合线有效作用部分是经过坐标中心（经过节点）的附近的线段，即 ψ 接近于零的曲线之段。